

物質の縦分散に及ぼす密度流効果(II)

九州工大 正員 藤崎一裕 九州工大 学生員○吉武範幸
九州工大 学生員 林秀樹 九州共立大 正員 粟谷陽一

1. まえがき

開水路縦分散に及ぼす流下方向密度勾配の影響について調べた。

この現象については、以前に筆者らが、Elderの取扱¹⁾にMonin-Obkhozの理論を加えて検討した²⁾。古本らはこの問題に、 $k-\epsilon$ モデルを用いて更に詳しい考察を報告している³⁾。本報は乱流モデルとして、 $k-\epsilon$ モデルを用いて検討を行ったものである。

2. 基礎式と数値計算方法

流下方向に一定の密度勾配を持つ2次元等流の流れ場を想定して図1のように座標軸をとると、この場合の基礎式が無次元表示で次のように与えられる。

$$-\frac{d\bar{u}}{dx} - 2\sigma(1-\bar{y}) + \frac{\partial}{\partial \bar{y}}(\bar{v}_t \frac{\partial \bar{u}}{\partial \bar{y}}) = 0 \quad (1)$$

$$\bar{v}_t \left(\frac{\partial \bar{u}}{\partial \bar{y}} \right)^2 + \frac{\partial}{\partial \bar{y}} \left(\frac{\bar{v}_t}{\sigma_k} \frac{\partial \bar{k}}{\partial \bar{y}} \right) + 2\sigma \frac{\bar{v}_t}{\sigma_t} \frac{\partial \bar{\epsilon}}{\partial \bar{y}} - \epsilon = 0 \quad (2)$$

$$c_{\mu} \frac{\bar{\epsilon}}{\bar{k}} \left\{ \bar{v}_t \left(\frac{\partial \bar{u}}{\partial \bar{y}} \right)^2 + 2\sigma(1-c_{\mu}) \frac{\bar{v}_t}{\sigma_t} \frac{\partial \bar{\epsilon}}{\partial \bar{y}} \right\} + \frac{\partial}{\partial \bar{y}} \left(\frac{\bar{v}_t}{\sigma_t} \frac{\partial \bar{\epsilon}}{\partial \bar{y}} \right) - c_{\mu} \frac{\bar{\epsilon}^2}{\bar{k}} = 0 \quad (3)$$

$$\bar{v}_t = c_{\mu} \frac{\bar{k}^2}{\bar{\epsilon}} \quad (4)$$

粒子濃度Cに関しては(5)式の保存則を用いる。

$$\bar{u} \frac{\partial c}{\partial x} = \frac{\partial}{\partial \bar{y}} \left(\frac{\bar{v}_t}{\sigma_t} \frac{\partial c}{\partial \bar{y}} \right) \quad (5)$$

$$c = C_0(1+Kx_1) + K\bar{h}\hat{c} \quad (6)$$

$$\rho = \rho_0(1+\beta c), \beta; \text{const}$$

また、濃度分布は(6)式で仮定されるとすると、(5)式より、

$$\hat{c} = \int_{0}^{\bar{y}} \sigma_t \left(\int_{0}^{\bar{y}} \hat{u} d\bar{y} \right) d\bar{y} + A, A; \text{const} \quad (7)$$

ここで

$$\sigma = \frac{1}{2} \frac{\Delta \bar{\rho} g h^2 K}{u_*^4} \quad (8)$$

σ は密度勾配と一般流の乱れ強度の比に対応する。ただし \bar{v}_t は渦動粘性係数、 \bar{k} は乱れのエネルギー、 $\bar{\epsilon}$ は流れの散逸率であり、

$$\bar{u} = u / u_*, \bar{v}_t = v_t / (hu_*), \bar{y} = y / h, \quad (9)$$

$$\bar{k} = k / u_*^2, \bar{\epsilon} = \epsilon h / u_*^3$$

$$u_* = \sqrt{g R I}, I \text{ は水面勾配}$$

である。この時、分散係数 D_L は、次式で求められる。

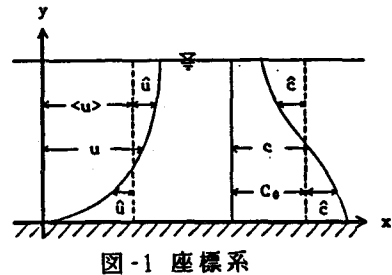


図-1 座標系

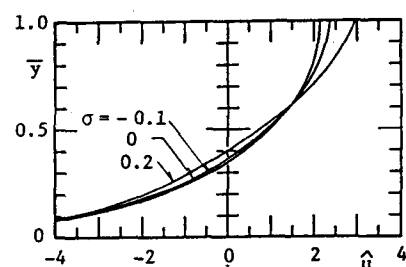
$$\bar{D}_L = \frac{D_L}{hu_*} = -\langle \hat{u} \hat{c} \rangle \quad (10)$$

$$\hat{u} = \bar{u} - \langle \bar{u} \rangle, \langle * \rangle \equiv \int_0^1 * dy$$

(2),(3)式の境界条件としては、水路底部で \bar{k} 、 $\bar{\epsilon}$ に対して対数則と結合し、 $\bar{\epsilon}$ に関しては水面では対称条件を用いた。 \bar{k} に関しては水面での乱れの減衰のため、対称条件を用いることは不適当であることが指摘されており、いくつかの検討もなされているが、ここでは林津の方法⁴⁾（水面で \bar{k} に対して対称条件を用いた場合の解の α （ $\alpha < 1$ ）倍を新しく水面の \bar{k} の値として \bar{k} の分布を求める方法）を用いた。その他の計算方法は通常の繰り返し代入法で行い、 k 方程式、 ϵ 方程式に関するプログラムの大部分は文献⁵⁾に記されているものを利用した。（ $\sigma_k = \sigma_t = 1.0$ 、 $c_{\mu} = 1.3$ 、 $c_{\epsilon} = 1.44$ 、 $c_{\alpha} = 1.92$ 、 $c_{\beta} = 1.0$ 、 $c_{\mu} = 0.09$ ）

3. 計算結果

いくつかの σ の値に対する \hat{u} 、 \bar{k} 、 $\bar{\epsilon}$ と \bar{y} との関係を、それぞれ図2、3、4に示した。また、 \bar{k} 、 $\bar{\epsilon}$ より求められた \bar{v}_t を図5に示す。ここで、 α と σ の関係は、 σ の増加とともに表面乱れが減少することや、従来の解析結果などを考慮して定めた。図6はプランタル的混合距離を示す。図2中の実線は対数分布、図3、4中の式は、開水路乱流($\sigma=0$)に

図-2 \hat{u} の鉛直分布

比較的よく適合するという半理論式である⁴⁾。

図2の \hat{U} と、図7の \hat{C} から求めた分散係数 σ との関係を図8に示した。図によると、これまでに得られた結果に比べて D_L に及ぼす密度勾配の影響が小さめにでている。この原因としては、おもに v_t の分布形の相異にあると考えられるが、なお検討中である。

なお、本研究に協力された九州工大生の大木宏之、森下龍一の両君に感謝する。

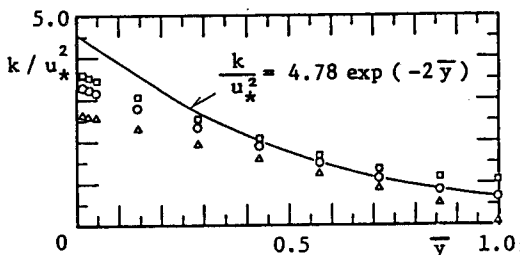


図-3 k/u_*^2 の分布

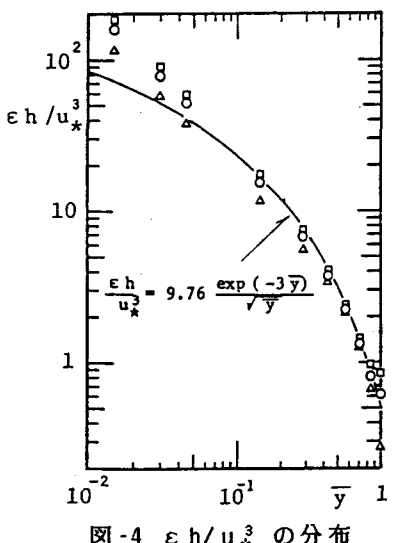


図-4 $\epsilon h/u_*^3$ の分布

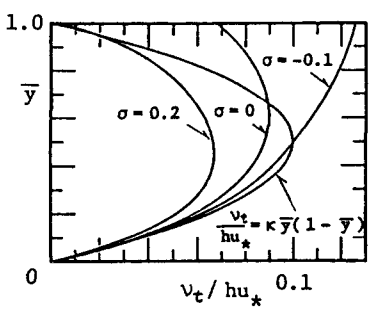


図-5 $v_t/h u_*^2$ の分布

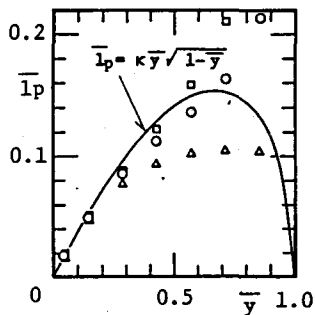


図-6 l_p/h の分布

表-1 図3,4,6中の記号

	σ	α
□	-0.1	1.0
○	0	0.8
△	0.2	0.2

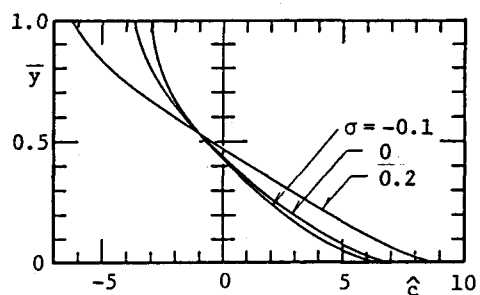


図-7 \hat{C} の鉛直分布

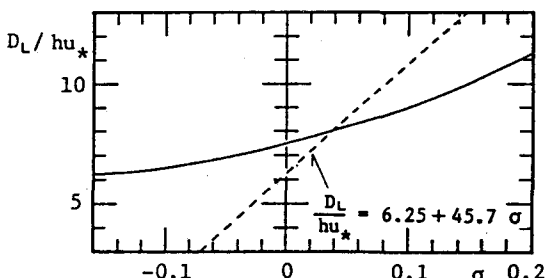


図-8 $D_L/h u_*$ と σ の関係

4. 参考文献

- 1)Elder J.W.: J.Fluid Mech. 1959,5 pp.544-560
- 2)FUJISAKI et al. Proc.of Special Conf.Coastal and Est.Pol.1987 pp.237-244
- 3)古本、椿；第31回水理講演会論文集，1987，2 pp.461-466
- 4)柳津、中川；京大防災研究所年報 第29号，B-2, 1986,4 pp.647-672
- 5)小竹他：熱と流れ（丸善） 1988. pp.209-